

# Praktikum zur Vorlesung Theorie und Numerik partieller Differentialgleichungen II: Nicht-lineare partielle Differentialgleichungen

Wintersemester 2018/19

Albert-Ludwigs-Universität Freiburg

Prof. Dr. S. Bartels

Dipl.-Math. A. Papathanassopoulos

M.Sc.-Math. J. Keck

## Übungsblatt 5

**Projekt 9.** Wir betrachten die Allen-Cahn-Gleichung aus den Projekten 7 und 8. Man kann zeigen, dass sich der kleinste Eigenwert des linearisierten Allen-Cahn-Operators bezüglich der Approximationslösung zum Zeitpunkt  $t_k = k\tau$  durch folgenden Algorithmus approximieren lässt.

Seien  $w_h^0 \in S^1(\mathcal{T}_h)$ , sodass  $\|w_h^0\|_{L^2(\Omega)} = 1$ ,  $c_{\text{shift}} = \|f'(u_h^k)\|_{L^\infty(\Omega)} + 1$  und  $(\cdot, \cdot)_\lambda : S^1(\mathcal{T}_h) \times S^1(\mathcal{T}_h) \rightarrow \mathbb{R}$  mit

$$(w_h, v_h)_\lambda = (\nabla w_h, \nabla v_h) + \varepsilon^{-2}(w_h, v_h)_h + c_{\text{shift}}(w_h, v_h).$$

Berechne  $\Lambda^j$ ,  $j = 0, 1, \dots$  durch  $\Lambda^0 = (w_h^0, w_h^0)_\lambda$  sowie

$$(\tilde{w}_h^j, v_h)_\lambda = (w_h^{j-1}, v_h)$$

für alle  $v_h \in S^1(\mathcal{T}_h)$ ,  $w_h^j = \tilde{w}_h^j / \|\tilde{w}_h^j\|_{L^2(\Omega)}$  und  $-\Lambda^j + c_{\text{shift}} = (w_h^j, w_h^j)_\lambda$ . Stoppe, falls  $|\Lambda^j - \Lambda^{j-1}| \leq \varepsilon_{\text{stop}}$ .

Erweitern Sie Ihr Programme aus Projekt 7, sodass der kleinste Eigenwert  $\Lambda$  in jedem Zeitschritt approximiert und dessen Entwicklung in der Zeit grafisch dargestellt wird. Testen Sie das Programm sowohl für stabile, als auch für instabile Konfigurationen von Parametern. Was fällt Ihnen auf?

**Projekt 10.** Wir betrachten das Cahn-Hilliard-System

$$u_t - \Delta(\varepsilon^{-1}f(u) - \varepsilon\Delta u) = 0 \quad \text{in } (0, T) \times \Omega,$$

$$u(0, \cdot) = u_0 \quad \text{in } \Omega,$$

$$\frac{\partial(\varepsilon^{-1}f(u) - \varepsilon\Delta u)}{\partial n} = 0 \quad \text{in } (0, T) \times \partial\Omega$$

mit  $u_0 \in C(\bar{\Omega}) \cap H^1(\Omega)$ ,  $\varepsilon > 0$  und  $f(s) = s^3 - s$ . Für eine schwache Formulierung führen wir die zusätzliche Variable  $w = \varepsilon^{-1}f(u) - \varepsilon\Delta u$  ein. In diskreter Form ergibt sich für jeden Zeitschritt das folgende Problem. Suche  $u_h^k, w_h^k \in S^1(\mathcal{T}_h)$ , sodass

$$\int_{\Omega} d_t u_h^k \phi_h \, dx + \int_{\Omega} \nabla w_h^k \cdot \nabla \phi_h \, dx = 0,$$

$$\int_{\Omega} \nabla u_h^k \cdot \nabla \psi_h \, dx - \varepsilon^{-1} \int_{\Omega} w_h^k \psi_h \, dx = -\varepsilon^{-2} \int_{\Omega} f(u_h^{k-1}) \psi_h \, dx$$

für alle  $\phi_h, \psi_h \in S^1(\mathcal{T}_h)$ .

Schreiben Sie ein Programm, welches das beschriebene Verfahren zur Approximation von Lösungen des Cahn-Hilliard-Systems realisiert. Testen Sie ihren Code mit  $\Omega = (-1, 1)^2$ ,  $T = 1/5$ ,  $\varepsilon = 1/10$ ,  $\tau = 1/500$ ,  $2^{11}$  Elementen in der Triangulierung  $\mathcal{T}_h$  des Gebiets  $\Omega$  und  $u_0$  wie in Abbildung 1. Ändern Sie nun die Werte von  $\tau$  und  $\varepsilon$  sowie die Feinheit der Triangulierung. Was fällt Ihnen im Hinblick auf Stabilität auf?

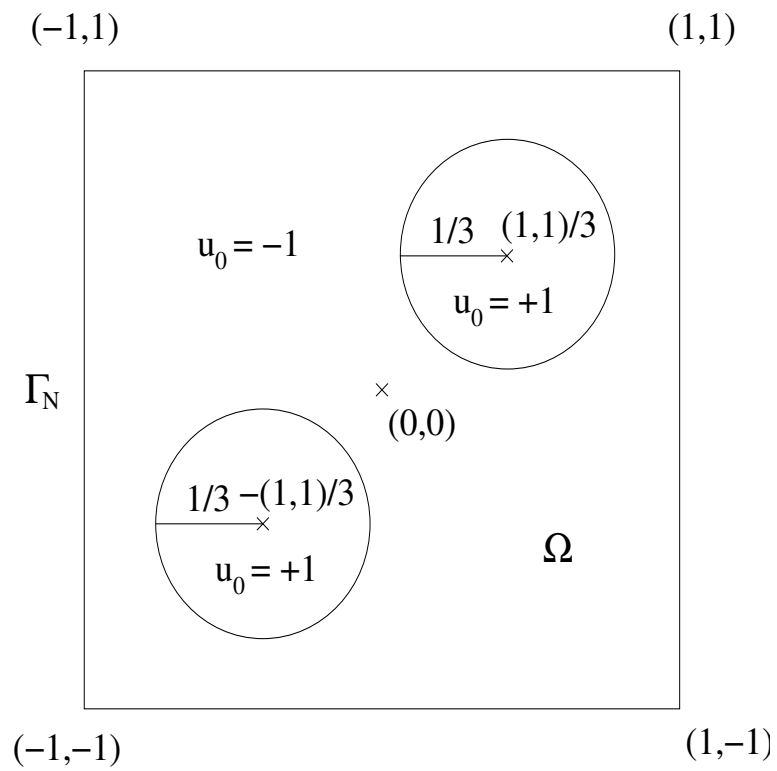


ABBILDUNG 1. Anfangsdaten für das Cahn-Hillard-System.

**Abgabe:** Bis Sonntag, den 6. Januar 2019 an den Tutor.

Homepage: <https://aam.uni-freiburg.de/agba/lehre/ws18/tun2>